

Zusammenfassung: Hydrodynamik

t21 - 7.2.05

|HB

Newton z:

$$\vec{f} = \vec{f}_P + \vec{f}_g + \cancel{\vec{f}_R} \stackrel{(1.5)}{=} \rho \frac{d\vec{u}}{dt} \quad (1)$$

Druckkraft \downarrow Schwerkraft \downarrow

$$-\vec{\nabla} p + \rho \vec{g} = \rho [(\vec{u} \cdot \vec{\nabla}) \vec{u} + \partial_t \vec{u}] \quad (2)$$

$$= -\vec{\nabla} \phi_g$$

Euler-Gl:

$$\partial_t \vec{u} + (\vec{u} \cdot \vec{\nabla}) \vec{u} = \vec{g} - \frac{\vec{\nabla} p}{\rho} \quad (3)$$

Für inkompressible Flüssigkeit, mit $\rho = \text{konst.}$: $= -\vec{\nabla} \left(\frac{p}{\rho} \right)$

$$\text{Konvektionsbeschleunigung: } \vec{\alpha}_k \stackrel{(10.4)}{=} (\vec{u} \cdot \vec{\nabla}) \vec{u} \stackrel{(10.1)}{=} \frac{1}{2} \nabla^2 \vec{u} - \vec{u} \times \vec{\Omega} \quad (4)$$

Wirbelfeld:

$$\vec{\Omega} \stackrel{(10.7)}{=} \vec{\nabla} \times \vec{u} \quad (5)$$

Bernoulli-Gl:

|HB

$$(13.4) \text{ in } (13.3): \partial_t \vec{u} + \left[\frac{1}{2} \vec{\nabla} (u^2) - \vec{u} \times \vec{\Omega} \right] = -\vec{\nabla} \left[\phi + \frac{p}{\rho} \right] \quad (1)$$

$\vec{u} \cdot \vec{\nabla}$ (1)

$$\vec{u} \cdot \vec{\nabla} \left[\frac{1}{2} u^2 + \phi + \frac{p}{\rho} \right] = -\vec{u} \cdot \partial_t \vec{u} + \underbrace{\vec{u} \cdot (\vec{u} \times \vec{\Omega})}_{=0} \quad (2)$$

Für stationären Fall:

$$\partial_t \vec{u} = 0$$

$$\vec{u} \cdot \vec{\nabla} \left[\frac{1}{2} u^2 + \phi + \frac{p}{\rho} \right] = 0 \quad (3)$$

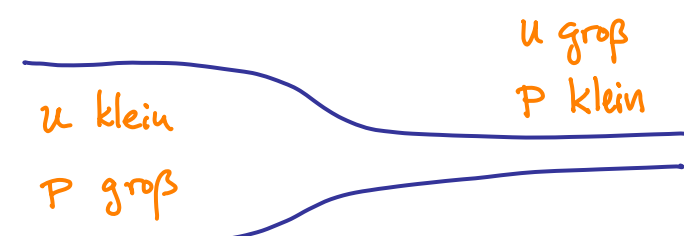
(3) besagt:

↓

Änderung von [] entlang Stromlinie = 0

Bernoulli-Gl:

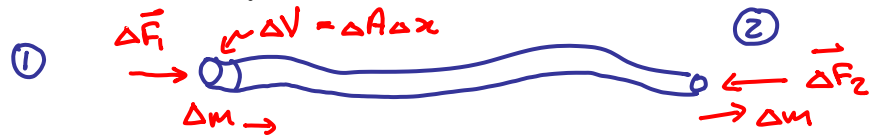
$$\frac{1}{2} u^2 + \phi + \frac{p}{\rho} = \text{konst. entlang Stromlinie} \quad (4)$$



Interpretation der Bernoulli-Gl: Energie-Erhaltung entlang Stromröhre

H1k

Stromröhre:



$$(13.4) \quad \left[\frac{1}{2} u^2 + \phi + \frac{p}{\rho} \right]_1 = \left[\frac{1}{2} u^2 + \phi + \frac{p}{\rho} \right]_2 \quad (1)$$

$$\Delta m \left[\left(\frac{1}{2} u_1^2 + \phi_1 \right) - \left(\frac{1}{2} u_2^2 + \phi_2 \right) \right] = \Delta m \left[\frac{p_2}{\rho_2} - \frac{p_1}{\rho_1} \right] = \Delta W_2 - \Delta W_1 \quad (2)$$

$$\text{denn: } \frac{\Delta m p}{\rho} = p \Delta V = p \Delta A \Delta x = \Delta F \Delta x = \Delta W = \text{Arbeit!} \quad (3)$$

$$(2): (E_{kin} + E_{pot})_{\text{rein},1} - (E_{kin} + E_{pot})_{\text{raus},2} = \left[\begin{array}{c} \text{Arbeit von} \\ \Delta F_2 \text{ auf } \Delta m_2 \end{array} \right] - \left[\begin{array}{c} \text{Arbeit von} \\ \Delta F_1 \text{ auf } \Delta m_1 \end{array} \right] \quad (4)$$

$$\left[\begin{array}{c} \text{Energiezunahme von} \\ \Delta m_2 \end{array} \right] = \text{Arbeit geleistet auf } \Delta m_2 \text{ von Druckkräften.} \quad (5)$$

Vorzeichen: bei Bewegung von Δm gegen (entlang) Kraft wird Energie v. Δm erhöht (erniedrigt)

Anwendung: Ausfluss aus Becher mit Loch

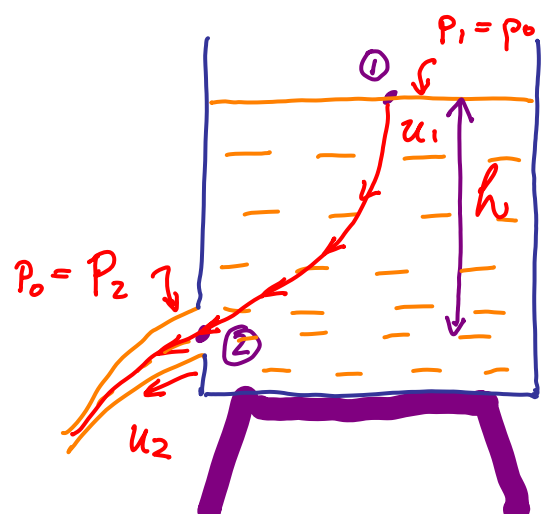
H15

Annahmen:

- Tank ist so groß, dass Absenkung des Wasserpegels vernachlässigbar ist:

$$v_2 \gg v_1 \approx 0 \quad (1)$$

- Druck ist überall gleich: $p_1 = p_2$ (2)



- Inkompressible Flüssigkeit: $\rho_1 = \rho_2$ (3)

$$\text{Bernoulli (13.4): } \frac{1}{2} (u_1^2 - u_2^2) + \underbrace{(\phi_1 - \phi_2)}_{gh} + \underbrace{\frac{p_1}{\rho_1} - \frac{p_2}{\rho_2}}_{(2,3) = 0} = 0 \quad (4)$$

$$\text{Austrittsgeschwindigkeit: } u_2 = \sqrt{2gh} \quad (5)$$

Wirbel (für inkompressible, reibungsfreie Flüssigkeit)

Für inkompressible Flüssigkeit gilt:

$$0 = \partial_t \rho = \bar{\nabla} \cdot \bar{j} \stackrel{(6.3)}{=} \bar{\nabla} \cdot (\rho \bar{u}) = \rho (\bar{\nabla} \cdot \bar{u}) \quad (1)$$

(8.2): Kontinuitätsgleichung

⇒ Stromfeld ist divergenzfrei:

$$\bar{\nabla} \cdot \bar{u} = 0 \quad (2)$$

Def. Wirbelgesdew:

(Zirkulation pro Einheitsfläche)

$$\bar{\Sigma} \stackrel{(1.5)}{=} \bar{\nabla} \times \bar{u} \left[= \lim_{S \rightarrow 0} \frac{1}{S} \oint \bar{u} \cdot d\bar{l} \right] \quad (3)$$

[Ein auf der Oberfläche treibendes Blatt würde sich mit $\bar{\Sigma}/2$ um die eigene Achse drehen.]

"Wirbelfeld": Feldlinien \parallel zu $\bar{\Sigma}$, Dichte der Feldlinien proportional zu $|\bar{\Sigma}|$



Ferner: $\bar{\nabla} \times (13.2)$ $\bar{\nabla} \times [\partial_t \bar{u} - \bar{u} \times \bar{\Sigma}] = -\bar{\nabla} \times \bar{\nabla} [\phi + \frac{\Gamma}{\rho} + \frac{1}{2} u^2] = 0$ (4)

$(F23.1)$

Beschreibt Wirbel dynamik: $\partial_t \bar{\Sigma} - \bar{\nabla} [\bar{u} \times \bar{\Sigma}] = 0$ (5)

Helmholtz-Gleichungen für inkompressible, reibungsfreie Flüssigkeit

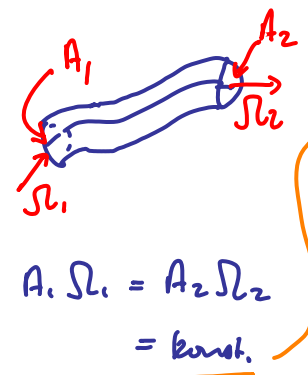
(Zusammenfassung von S.16)

(16.2) I: $\bar{\nabla} \cdot \bar{u} = 0$ (1)

(16.3) II: $\bar{\Sigma} = \bar{\nabla} \times \bar{u}$ (2)

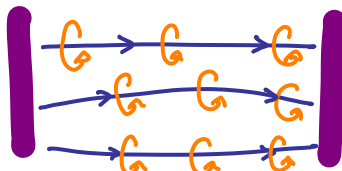
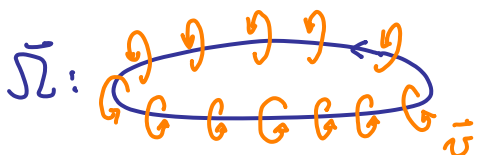
(16.5) III: $\frac{\partial \bar{\Sigma}}{\partial t} = \bar{\nabla} \times (\bar{u} \times \bar{\Sigma})$ (3)

Helmholtz II besagt: $\bar{\Sigma}$ ist divergenzlos, denn $\bar{\nabla} \cdot \bar{\Sigma} = \bar{\nabla} \cdot (\bar{\nabla} \times \bar{u}) = 0$ (4)



⇒ Wirbelfeld hat keine Quellen oder Senken

⇒ Wirbelfeldlinien sind geschlossen, oder enden an einer Wand



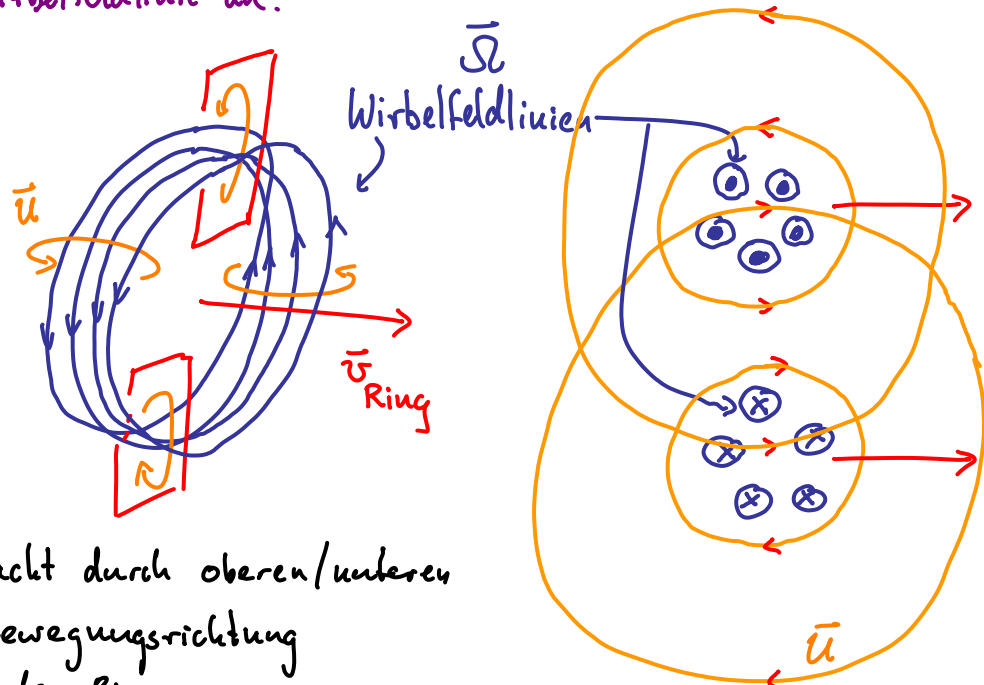
Helmholtz III besagt: Die Wirbelfeldlinien bewegen sich mit der Flüssigkeit mit. (hier ohne Beweis) H18

Falls die Flüssigkeitstropfen entlang einer Wirbelkurve blau gefärbt würden, dann zeigt die Bewegung der blauen Linie, deren Tropfen mit der Flüssigkeit mitgeführt werden, die Bewegung der Wirbelfeldlinie an.

Rauchring:



Rauchring ist geschlossen, (wegen Helmholtz II).



Zirkulationsströmung \bar{u} verursacht durch oberen/unten Bereich des Rings, bedingt Bewegungsrichtung des unteren/oberen Bereichs des Rings.

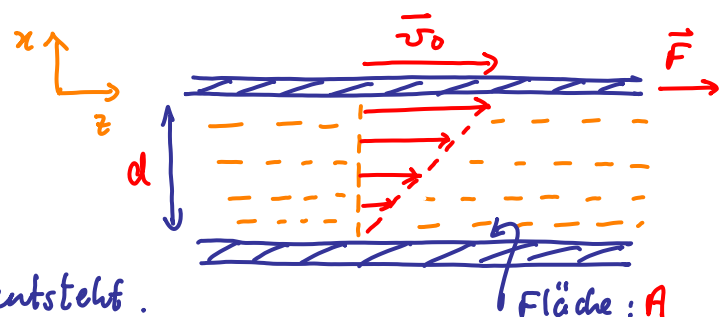
Innere Reibung

H19

Helmholtz III besagt: Falls $\bar{S}u(t=0) = 0$, dann $\bar{S}u(t \neq 0) = 0$!!
 $\partial_t \bar{S}u = \bar{v} \times (\bar{u} \times \bar{S}u)$ \Rightarrow Wirbel können nicht entstehen! Was fehlt? $f_R \neq 0$!!

Laminarer Fluss:

Obere Glasplatte werde parallel zur unteren mit konstanter Geschw. $\bar{v}_0 = v_0 \hat{z}$ bewegt.



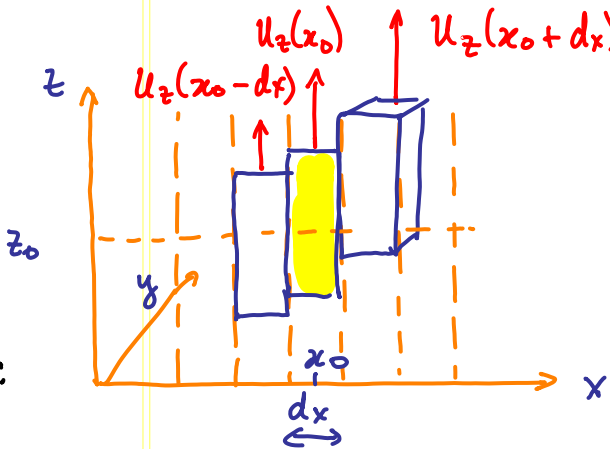
Flüssigkeit wird mitgerissen, Geschw.-Gradient entsteht.

Experimentell zeigt sich: hierfür benötigte "viskose Schubspannung": $\frac{F_z}{A} = \eta \frac{v_0}{d}$ (1)
 mit "Viskosität": $\eta \sim e^{-E_0/k_B T}$ genauer: $= \eta \frac{\partial v_z}{\partial x}$ (2)

Mikroskopischer Mechanismus: Moleküle aus einer Schicht dringen aufgrund thermischer Bewegung in Nachbarschicht ein und übertragen ihren x-Impuls in diese.

Allgemeine Beschreibung (für inkompressible Flüssigkeit, laminare Strömung) | H2O

Betrachte laminare Strömung in z-Richtung:



$$u_z(x, y=\text{const}, z=\text{const})$$

Reibungskraft auf :

$$\Delta F_{R,z} = \Delta F_{R,z}(x_0 + \frac{dx}{2}) - \Delta F_{R,z}(x_0 - \frac{dx}{2}) \quad (1)$$

$$\stackrel{(1a,2)}{=} \gamma dy dz \left[\frac{\partial u_z}{\partial x} \Big|_{x_0 + \frac{dx}{2}} - \frac{\partial u_z}{\partial x} \Big|_{x_0 - \frac{dx}{2}} \right] \quad (2)$$

$$= \gamma dy dz \underbrace{\frac{\partial}{\partial x} \frac{\partial u_z}{\partial x}}_{dV} = \frac{\partial^2 u_z}{\partial x^2} \quad (3)$$

Analog für Abhängigkeit von u_z von y, z .

Allgemeingültiges Endergebnis: $\Delta F_{R,z} \stackrel{(20.3)}{=} \gamma dV \underbrace{\left[\frac{\partial^2}{\partial x^2} + \frac{\partial^2}{\partial y^2} + \frac{\partial^2}{\partial z^2} \right]}_{= \nabla^2} u_z \quad (1)$

Analog für $\Delta F_{R,y}, \Delta F_{R,z}$:

$$\Delta \bar{F}_R \stackrel{(1)}{=} \gamma dV \nabla^2 \bar{u} \quad (2)$$

Reibungskraftdichte:
(für inkompressible Flüssigkeit)

$$\frac{\Delta \bar{F}_R}{\Delta V} = \boxed{\bar{f}_R \stackrel{(2)}{=} \gamma \nabla^2 \bar{u}} \quad (3)$$

\bar{f}_R liefert Zusatzterm
für Helmholtz III:
[analog zu (16.4)]

$$\frac{\partial \bar{J}_L}{\partial t} = \bar{\nabla} \times (\bar{u} \times \bar{J}_L) + \gamma \nabla^2 \bar{J}_L \quad (4)$$

Aber: "Diffusionsgl." lautet:

$$\frac{\partial p}{\partial t} = D \nabla^2 p \quad \left[\begin{array}{l} \text{beschreibt Diffusion eines} \\ \text{Tintenklecks in Wasser,} \\ \text{durch Brown'sche Bewegung} \end{array} \right]$$

Analog: Effekt des neuen Terms: **Diffusion!** Wirbellinien diffundieren in Bereiche hinein, wo ihre Dichte klein ist (Rauchring wird dicker)